

УДК 530.18:535

## НЕЛИНЕЙНОЕ ОПТИЧЕСКОЕ ОГРАНИЧЕНИЕ НА НАНОЧАСТИЦАХ МЕДИ, СИНТЕЗИРОВАННЫХ В КВАРЦЕВОМ СТЕКЛЕ МЕТОДОМ ИОННОЙ ИМПЛАНТАЦИИ

*А.Н. Голубев, С.И. Никитин, А.Л. Степанов*

### Аннотация

Приведены результаты исследований нелинейно-оптических свойств композитного материала на основе кварцевого стекла с наночастицами меди, синтезированными методом ионной имплантации. Показано, что на длине волны 532 нм исследуемые образцы обладают эффектом оптического ограничения. По измеренной зависимости нормированного пропускания оценено значение коэффициента нелинейного поглощения  $(3.63 \pm 0.09) \cdot 10^{-6}$  м/Вт при энергии импульса лазерного излучения 18–22 мкДж и длительности импульса 12 нс.

**Ключевые слова:** металлические наночастицы, наноматериалы, нелинейное поглощение,  $z$ -сканирование, ионная имплантация.

---

### Введение

Поиск новых фотонных материалов и создание на их основе комбинированных быстродействующих оптоэлектронных наноустройств определяют пути развития и совершенствования современной электроники. Для этих целей перспективными являются композиционные среды на основе оптически прозрачных диэлектриков, содержащих металлические наночастицы (МН). Фотонные среды с МН могут быть использованы в качестве ключевых элементов для управления оптическим сигналом в диэлектрических волноводах, выполняя роль ультрабыстрых нелинейно-оптических переключателей, модуляторов светового сигнала и оптических ограничителей [1]. Несмотря на многочисленные исследования МН, все еще остается невыясненным ряд фундаментальных вопросов природы нелинейно-оптических явлений, а также актуальными являются задачи, связанные с разработкой эффективных методов синтеза материалов с МН и оптимизацией их свойств.

Относительно недавно метод ионной имплантации стал применяться для синтеза МН с целью создания нелинейно-оптических материалов. Первой публикацией по исследованию нелинейно-оптических свойств диэлектриков с ионно-синтезированными МН является работа 1991 г. [2], в которой представлены результаты исследований взаимодействия наносекундных импульсов лазерного излучения с  $\text{SiO}_2$ , содержащим наночастицы золота. На длине волны 532 нм вблизи максимума полосы плазмонного поглощения МН ( $\lambda_{\max} = 525$  нм) была зарегистрирована нелинейная восприимчивость третьего порядка  $\chi^{(3)} \sim 10^{-7}$  ед. СГСЭ. Для наночастиц меди в натриево-калиевом стекле было определено значение  $\text{Re } \chi^{(3)} = 1.3 \cdot 10^{-7}$  ед. СГСЭ на длине волны лазерного излучения 532 нм [3], что на пять порядков больше, чем для стандартного нелинейного вещества  $\text{CS}_2$ , у которого  $\text{Re } \chi^{(3)} \sim 10^{-12}$  ед. СГСЭ. Исследования нелинейно-оптических свойств

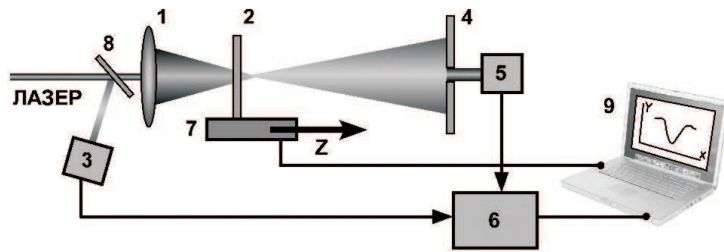


Рис. 1. Схема экспериментальной установки по  $z$ -сканированию: 1 – фокусирующая линза; 2 – исследуемый образец; 3 и 5 – фотодиоды; 4 – ограничивающая диафрагма; 6 – цифровой осциллограф; 7 – транслятор; 8 – делительное зеркало; 9 – компьютер

МН в имплантированных материалах при воздействии пикосекундными лазерными импульсами были продолжены в 1992–1993 гг. на системах  $\text{SiO}_2:\text{Cu}$ ,  $\text{SiO}_2:\text{Au}$  и опубликованы в работах [4–6]. Измерения нелинейно-оптических характеристик ионно-синтезированных МН на длинах волн 365 и 1064 нм впервые было проведено в работах [7] и [8] соответственно.

Основная доля имеющихся на сегодняшнее время публикаций по нелинейно-оптическим свойствам МН посвящена изучению нелинейной рефракции и определению  $\chi^{(3)}$ . В настоящей работе приводится ряд новых экспериментальных результатов по исследованию эффекта оптического ограничения кварцевого стекла с наночастицами меди ( $\text{SiO}_2:\text{Cu}$ ), обусловленного появлением нелинейного поглощения МН в поле лазерного излучения наносекундной длительности.

### 1. Методика эксперимента

В работе исследуется композитный материал на основе кварцевого стекла с наночастицами меди, синтезированными методом ионной имплантации на ускорителе Wikham (Sussex University, UK). Имплантация проводилась однозарядными ионами меди с энергией 160 кэВ и дозой  $8 \cdot 10^{16}$  ион/ $\text{cm}^2$  при плотности тока в ионном пучке 10 м $\text{A}/\text{cm}^2$ . Толщина имплантированного слоя, содержащего наночастицы меди, составляет порядка 100 нм при среднем размере частиц порядка 5 нм [9]. Спектры пропускания  $\text{SiO}_2:\text{Cu}$  и исходной матрицы  $\text{SiO}_2$  были измерены на двухлучевом спектрофотометре SPECORD M40 на длинах волн от 200 до 900 нм.

Для измерения нелинейно-оптического поглощения слоев с МН был использован метод  $z$ -сканирования (рис. 1), физические принципы которого подробно описаны в работе [10]. Данный метод позволяет независимо определять нелинейный показатель преломления и коэффициент нелинейного поглощения. В настоящем эксперименте измерения проводились на длинах волн первой и второй гармоник излучения YAG:Nd-лазера (532 и 1064 нм соответственно). Длительность импульсов лазерного излучения составляла  $\tau = 12$  нс. Для исключения влияния тепловых эффектов на результаты измерений частота следования импульсов не превышала 10 Гц. Лазерный пучок фокусировался линзой 1 с фокусным расстоянием  $f = 20$  см, что соответствовало радиусу перетяжки  $w_0 \approx 40$  мкм. Образец 2 крепился на подвижной площадке 7, перемещение которой осуществлялось с помощью шагового двигателя.

Для ограничения диаметра пучка, падающего на фотодиод 5, при измерении нелинейной рефракции на расстоянии 80 см от фокальной плоскости линзы устанавливалась диафрагма 4 с диаметром до 0.5 мм. Сигналы с фотодиодов

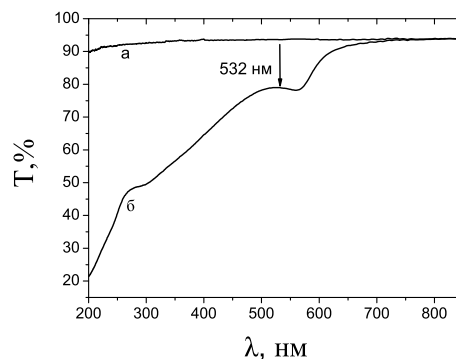


Рис. 2. Спектр пропускания образцов  $\text{SiO}_2$  (а) и  $\text{SiO}_2:\text{Cu}$  (б)

измерялись двухканальным цифровым осциллографом LeCroy 9450A. Значение нормированного пропускания  $T(z)$  определялось как отношение сигналов с фотодиодов 3 и 5 и усреднялось в каждой точке по измерениям для 300 импульсов лазера. Полученные зависимости  $T(z)$  построены как функция положения образца по координате  $z$  относительно фокуса линзы (1).

## 2. Результаты и их обсуждение

В спектре оптического пропускания исследуемого образца (рис. 2) наблюдается характерная полоса поглощения с положением максимума 560 нм, соответствующая поверхностному плазмонному резонансу наночастиц меди [11].

На рис. 3, а представлены результаты измерений  $T(z)$  исследуемого образца на длине волны 532 нм. Измерения были выполнены при двух энергиях лазерного излучения: 18 и 22 мкДж в импульсе. Форма кривой  $T(z)$  имеет вид колокола, обращенного вершиной вниз с минимумом вблизи  $z = 0$ . Такой вид кривой свидетельствует о наличии нелинейного положительного поглощения [10]. В ближней ИК-области спектра (1064 нм) нелинейное поглощение не наблюдалось. Отметим, что подобный вид кривой  $T(z)$  на рис. 3, а может также быть обусловлен появлением в образце оптического пробоя, возникающего из-за разрушения МН за счет их локального перегрева и плавления под действием мощного лазерного излучения [9]. В этом случае уменьшение  $T(z)$  при приближении к фокусу будет вызвано увеличением рассеяния лазерного излучения на поврежденной в результате оптического пробоя области образца, поскольку размер поврежденной области становится сравнимым с диаметром лазерного пучка. Нами было установлено, что разрушение МН в исследуемых образцах происходит при энергии  $\sim 30$  мкДж в импульсе.

Таким образом, наблюдаемое в настоящем эксперименте уменьшение  $T(z)$  при энергиях 18 и 22 мкДж в импульсе на длине волны 532 нм (рис. 3, а) обусловлено эффектом нелинейного положительного поглощения (оптического ограничения). Для проверки влияния тепловых эффектов на полученные результаты было проведено измерение  $T(z)$  с той же энергией зондирующего излучения (22 мкДж) при частоте следования импульсов 1 Гц. Как видно из рис. 3, а, значения  $T(z)$ , измеренные на частотах 1 и 10 Гц совпадают, что позволяет исключить из рассмотрения стационарные тепловые эффекты. Измерения  $T(z)$  по схеме с диафрагмой показали, что нелинейной рефракции на длинах волн 532 и 1064 нм для исследуемого образца не наблюдается.

Зависимость  $T(z)$  как функция положения образца относительно фокуса линзы в схеме без диафрагмы при нелинейном поглощении может быть получена

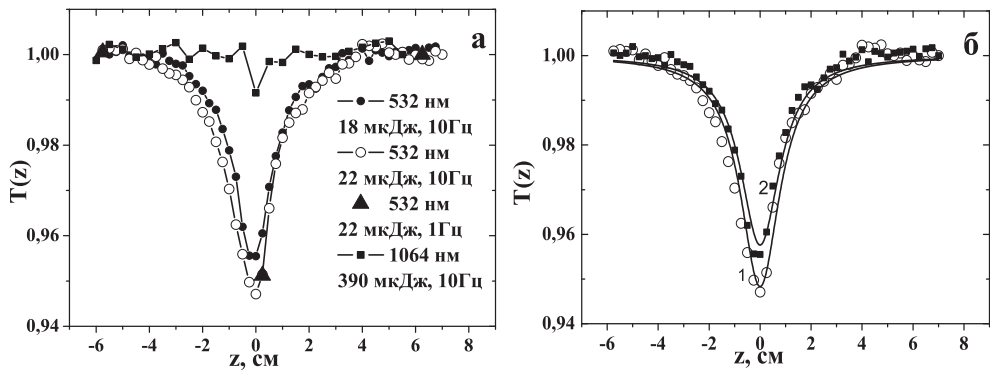


Рис. 3. а) Зависимости нормированного пропускания  $T(z)$  образца  $\text{SiO}_2:\text{Cu}$  от его положения относительно фокуса линзы ( $z = 0$ ) при измерении по схеме без диафрагмы; б) аппроксимация зависимости  $T(z)$  при  $E = 22 \text{ } \mu\text{Дж}$  (1) и  $E = 18 \text{ } \mu\text{Дж}$  (2) функцией (2)

из решения уравнения [10]

$$dI/dz' = -(\alpha + \beta I)I, \quad (1)$$

где  $z'$  – координата по глубине образца,  $\alpha$  – коэффициент линейного поглощения,  $\beta$  – коэффициент нелинейного поглощения. Эта зависимость имеет следующий вид:

$$T(z) = 1 - \frac{I'_0 L_{\text{eff}} \beta}{1 + z^2/z_0^2}, \quad (2)$$

где  $I'_0$  – максимальное значение интенсивности лазерного пучка на его оси в перетяжке,  $L_{\text{eff}}$  – эффективная толщина слоя стекла с наночастицами  $L_{\text{eff}} = (1 - e^{-\alpha L})/\alpha$ ,  $z_0$  – дифракционная длина. Для гауссова пучка величина  $I'_0 L_{\text{eff}}$  равна:

$$I'_0 L_{\text{eff}} = \frac{(1 - e^{-\alpha L})E}{\alpha \pi^{3/2} \sqrt{2} \omega_0^2 \tau}, \quad (3)$$

где  $E$  – энергия лазерного импульса,  $\tau$  – длительность импульса ( $\tau = 12 \text{ } \text{нс}$ ),  $\omega_0 = 40 \text{ } \text{мкм}$  – размер пучка в перетяжке. Коэффициент  $\alpha$  с учетом френелевских потерь на гранях образца был определен по спектру пропускания (рис. 1):  $\alpha = 3.7 \cdot 10^3 \text{ } \text{см}^{-1}$ . Результаты аппроксимации функцией (2) экспериментальных зависимостей  $T(z)$  для энергий лазерного импульса 18 и 22  $\mu\text{Дж}$  представлены на рис. 3, б. Значения нелинейного коэффициента поглощения для энергий импульсов лазерного излучения 18 и 22  $\mu\text{Дж}$  оказались равны:  $\beta(18 \text{ } \mu\text{Дж}) = (3.63 \pm 0.08) \cdot 10^{-6}$  и  $\beta(22 \text{ } \mu\text{Дж}) = (3.6 \pm 0.09) \cdot 10^{-6} \text{ } \text{м/Вт}$ . Хорошее совпадение коэффициентов  $\beta$  для разных энергий лазерного излучения подтверждает сделанное заключение о том, что уменьшение  $T(z)$  вблизи фокуса линзы обусловлено эффектом нелинейного поглощения, а не рассеянием света на области оптического пробоя. Мнимое значение восприимчивости третьего порядка образца  $\text{SiO}_2:\text{Cu}$  при энергии в импульсе 22  $\mu\text{Дж}$  составляет  $\text{Im}(\chi^{(3)}) = (5.92 \pm 0.08) \cdot 10^{-8} \text{ } \text{ед. СГСЭ}$ . Наиболее вероятным механизмом наблюденного нелинейного поглощения является двухфотонное поглощение из d-зоны в возбужденные состояния зоны проводимости наночастиц меди [1].

Измерение нелинейно-оптических характеристик кварцевого стекла с наночастицами меди при зондировании наносекундными импульсами лазера проводилось

и ранее. В частности, в [12] методом четырехволнового смешения на длине волны 532 нм при длительности импульсов 7 нс было определено значение  $\text{Im}(\chi^{(3)}) = (1 - 2) \cdot 10^{-8}$  ед. СГСЭ, которое примерно в два раза меньше измеренного в настоящей работе. Несмотря на то что в [12] МН также были синтезированы ионной имплантацией, доза облучения ионами меди была заметно ниже ( $3.0 \cdot 10^{16}$  ион/ $\text{cm}^2$ ). Это позволяет предполагать наличие меньшего фактора заполнения медью, что и объясняет менее эффективное нелинейное поглощение. В работе [13] было показано, что нелинейно-оптические свойства натриево-кальциевого силикатного стекла с наночастицами меди, измеренные методом  $z$ -сканирования на длине волны лазера 532 нм и длительности импульсов лазера 7 нс, зависят от условий приготовления образца (ионный обмен) и температуры последующего отжига. Коэффициент нелинейного поглощения приготовленных образов был отрицательным и менял свой знак после термического отжига. Авторы объясняют данный результат изменением размера наночастиц меди в процессе отжига. Абсолютное значение  $\beta$  было также меньше, чем полученное в настоящей работе.

### Заключение

Проведенные исследования образца кварцевого стекла с ионно-синтезированными наночастицами меди на длине волны 532 нм показали наличие эффекта оптического ограничения. По полученной зависимости нормированного пропускания оценены значения коэффициентов  $\beta = (3.63 \pm 0.09) \cdot 10^{-6}$  м/Вт и, соответственно,  $\text{Im}(\chi^{(3)}) = (5.88 \pm 0, 15) \cdot 10^{-8}$  ед. СГСЭ на длине волны 532 нм для энергии импульса лазерного излучения 18–22 мкДж при длительности импульса 12 нс. Наиболее вероятным механизмом оптического ограничения является двухфотонное поглощение, обусловленное переходами из d-зоны в возбужденные состояния зоны проводимости наночастиц меди.

Работа выполнена при поддержке Министерства образования и науки РФ (Программа «Научные и научно-педагогические кадры инновационной России», госконтракт № 02.740.11.0797).

### Summary

*A.N. Golubev, S.I. Nikitin, A.L. Stepanov. Nonlinear Optical Limiting of Copper Nanoparticles Synthesized in Silica Glass by Ion Implantation.*

The nonlinear optical properties of the composite material based on quartz glass with copper nanoparticles synthesized by ion implantation were investigated. The optical limiting effect for laser emission with a wavelength of 532 nm, energy of 18–22  $\mu\text{J}$  and pulse duration of 12 ns was observed. Based on z-scan measurements the nonlinear absorption factor of  $(3.63 \pm 0.09) \cdot 10^{-6}$  m/W was estimated.

**Key words:** metal nanoparticles, nanomaterials, nonlinear absorption,  $z$ -scan, ion implantation.

### Литература

1. Haglund Jr. R.F. Quantum-dot composites for nonlinear optical applications // Optics of small particles, interfaces and surfaces / Eds. R.E. Hummel, P. Wissmann. – London: CRC Press, 1974. – V. II. – P. 192–224.
2. Fukumi K., Chayahara A., Kadono K.  $\text{Au}^+$ -ion-implanted silica glass with non-linear optical property // Jap. J. Appl. Phys. – 1991. – V. 30. – P. L742–L744.

3. *Tsuji H., Kido S., Gotoh Y., Ishikawa J.* Negative-ion implanter for powders and its application to nanometer-sized metal particle formation in the surface of glass beads // Rev. Sci. Instr. – 2000. – V. 71. – P. 804–806.
4. *Haglund Jr. R.F., Magruder III R.H., Morgan S.H., Henderson D.O., Weller R.A., Yang L., Zuhr R.A.* Nonlinear index of refraction of Cu- and Pb-implanted fused silica // Nucl. Instr. Meth. Phys. Res. B. – 1992. – V. 65. – P. 405–411.
5. *Haglund Jr. R.F., Yang L., Magruder III R.H., Wittig J.E., Becker K., Zuhr R.A.* Picosecond nonlinear optical response of a Cu:silica nanocluster composite // Opt. Lett. – 1993. – V. 18. – P. 373–375.
6. *Magruder III R.H., Yang Li., Haglund Jr. R.F., White C.W., Yang L., Dorsinville R., Alfano R.R.* Optical properties of gold nanocluster composites formed by deep ion implantation in silica // Appl. Phys. Lett. – 1993. – V. 62. – P. 1730–1733.
7. *Ganeev R.A., Ryasnyansky A.I., Stepanov A.L., Usmanov T.* Nonlinear optical susceptibilities of copper- and silver-doped silicate glasses in ultraviolet region // Phys. Stat. Sol. B. – 2003. – V. 238. – P. R5–R7.
8. *Stepanov A.L., Ganeev R.A., Ryasnyansky A.I., Usmanov T.* Non-linear optical properties of metal nanoparticles implanted in silicate glass // Nucl. Instr. Meth. B. – 2003. – V. 206. – P. 624–628.
9. *Степанов А.Л., Валеев Б.Ф., Нуждин В.И., Файзрахманов И.А.* Лазерный отжиг кварцевого стекла с ионно-синтезированными наночастицами меди // Физ. тверд. тела. – 2009. – Т. 51, Вып. 9. – С. 1801–1807.
10. *Sheik-Bahae M., Said A.A., Wei T.-H., Hagan D.J., van Stryland E.W.* Sensitive measurement of optical nonlinearities using a single beam // IEEE J. Quantum Electron. – 1990. – V. 26, No 4. – P. 760–769.
11. *Kreibig U., Volmer M.* Optical properties of metal clusters. – Berlin: Springer, 1995. – 552 p.
12. *Takeda Y., Gritsyna T., Lay T.T., Umeda N., Lee C.G., Kishimoto N.* Linear and non-linear optical properties of Cu nanoparticles fabricated by high-current Cu-implantation in silica glass // Proc. Symp. Adv. Phys. Fields. – 2000. – P. 197–202.
13. *Karthikeyan B., Anija M.* Optical and nonlinear optical properties of copper nanocomposite glasses annealed near the glass softening temperature // Opt. Commun. – 2008. – V. 281. – P. 2933–2937.

Поступила в редакцию  
18.01.10

---

**Голубев Андрей Николаевич** – аспирант кафедры квантовой электроники и радиоспектроскопии Казанского (Приволжского) федерального университета.

E-mail: [golubevandrei@yandex.ru](mailto:golubevandrei@yandex.ru)

**Никитин Сергей Иванович** – кандидат физико-математических наук, доцент кафедры квантовой электроники и радиоспектроскопии Казанского (Приволжского) федерального университета.

E-mail: [sergey.nikitin@ksu.ru](mailto:sergey.nikitin@ksu.ru)

**Степанов Андрей Львович** – доктор физико-математических наук, старший научный сотрудник лаборатории радиационной физики Казанского физико-технического института им. Е.К. Завойского КазНЦ РАН и лаборатории физики магнитных наноструктур и спинtronики кафедры твердого тела Казанского (Приволжского) федерального университета.

E-mail: [aanstep@gmail.com](mailto:aanstep@gmail.com)